



برآورد تراکم تاج پوشش جنگل با استفاده از مدل FCD

وحید میرزایی زاده^۱، مریم نیک نژاد^۲ و سید محمد حجتی^۳

۱- دانش‌آموخته کارشناسی ارشد، دانشگاه ایلام
۲- دانشجوی دکترا، دانشگاه علوم کشاورزی و منابع طبیعی ساری، (نویسنده مسوول: maryam612niknejad@yahoo.com)
۳- دانشیار، دانشگاه علوم کشاورزی و منابع طبیعی ساری
تاریخ دریافت: ۹۳/۹/۱۹ تاریخ پذیرش: ۹۵/۱۰/۱۹

چکیده

به منظور تهیه نقشه تراکم تاج پوشش در جنگل‌های بیوره استان ایلام از داده‌های ماهواره‌ای لندست ۸ مربوط به تاریخ ۳۱ تیرماه ۱۳۹۳ و مدل FCD استفاده شد. در روش FCD از چهار شاخص پوشش گیاهی، خاک، سایه و شاخص حرارتی با اعمال حد آستانه مناسب استفاده شد و سپس شاخص سایه پیشرفته و شاخص سایه هم قیاس شده، محاسبه گردید و در نهایت شاخص تراکم پوشش گیاهی و نقشه تراکم تاج پوشش جنگل بر مبنای مدل FCD برحسب درصد بدست آمد. نقشه تراکم جنگل بدست آمده بر اساس طبقات ارائه شده از سوی شورای عالی جنگل، مرتع و خاک سازمان جنگل‌ها و مراتع و آبخیزداری کشور (۷ طبقه) و نیز یک طبقه بندی دیگر (۵ طبقه)، طبقه بندی گردید. به منظور برآورد صحت نقشه تراکم جنگل طبقه بندی شده، یک نقشه واقعیت زمینی از تصاویر ارائه شده در وبسایت مرکز منطقه‌ای زیرساخت اطلاعات مکانی کشور که به روز و دارای قدرت تفکیک مکانی مناسب هستند، تهیه شد. بیشترین میزان صحت کلی و ضریب کاپا در مطالعه حاضر، مربوط به طبقه بندی در پنج طبقه و به ترتیب معادل ۶۱/۳۴ درصد و ۰/۴۲ محاسبه شد که در طبقه بندی ۷ طبقه، میزان صحت کلی و ضریب کاپا کمتر برآورد گردید. از این رو می‌توان نتیجه گرفت که در جنگل‌های زاگرس، کارایی مدل در تفکیک جنگل نیمه انبوه تا انبوه نسبتاً مناسب است و در حالی که مدل در تفکیک طبقات با تراکم پایین تر، دقیق عمل نمی‌کند.

واژه‌های کلیدی: تصاویر ماهواره‌ای لندست ۸، مدل FCD، تراکم تاج پوشش جنگل، استان ایلام، جنگل‌های بیوره

مقدمه

انجام شود، همواره مورد توجه بوده است (۱۳). هر چند که داده‌های ماهواره‌ای کمک بزرگی در این رابطه نموده‌اند، اما روش‌های طبقه بندی نظارت شده که معمولاً نتایج بهتری از دیگر روش‌های تجزیه و تحلیل این داده‌ها ارائه داده‌اند، نیاز به نمونه‌های تعلیمی دارند که عمدتاً از طریق کار میدانی تهیه می‌شوند. داده‌های ماهواره‌ای به دلیل برخورداری از مزایایی چون سطح پوشش وسیع، قابلیت تکرار، هزینه کمتر و امکان دسترسی به مناطق صعب‌العبور، سهولت پردازش و امکان استفاده توأم با داده‌های زمینی می‌تواند به عنوان یک گزینه در جمع‌آوری اطلاعات مطرح شوند (۱۸، ۲۵). داده‌های ماهواره‌ای یکی از سریع‌ترین و کم‌هزینه‌ترین روش‌های در اختیار محققان جهت تهیه نقشه جنگل هست (۱۵). در سال‌های اخیر با استفاده از این داده‌ها نقشه جنگل به روش‌های مختلف تهیه شده است. در سال ۱۹۹۷، یک گروه وابسته به انجمن مشاوران جنگل‌داری برون مرزی ژاپن - جوفکا^۱ (۹) مدل FCD^۲ را به عنوان روشی سریع برای تهیه نقشه تراکم جنگل از روی تصاویر ماهواره‌ای (برحسب معیار درصد تاج پوشش) ابداع نمودند. این مدل بر اساس روابط موجود میان تراکم پوشش درختی و داده‌های ماهواره‌ای لندست به وجود آمده است و نیازی به نمونه‌های تعلیمی برای طبقات مختلف تراکم جنگل ندارد. این مدل توسط (۷، ۱۹، ۲۰) به ترتیب در کشورهای هندوستان، میانمار و اندونزی مورد استفاده قرار گرفته و نتایج خوبی به همراه داشته است. در ایران نیز این مدل توسط ساعی و آبکار (۲۱) در بخشی از جنگل‌های استان گیلان مورد بررسی قرار گرفته و در مقایسه با یک واقعیت نمونه‌ای انتخابی صحت کلی معادل ۸۳٪ ارائه داده

تهیه نقشه پوشش اراضی در مدیریت منابع طبیعی و محیط زیست به منظور ارائه برنامه استفاده از سرزمین و تعیین توان و استعداد اراضی ضروری بوده و به عنوان یکی از منابع اصلی در تدوین برنامه‌های توسعه محسوب می‌شوند (۱۵). هرگونه برنامه‌ریزی نیازمند گستره وسیعی از اطلاعات همه‌جانبه و به هنگام است تا با استفاده از آن‌ها تصمیم‌های جامع و کامل، برای حفظ و استمرار جنگل‌ها اتخاذ گردد. مدیریت کارا و پیروی از رهنمود و عملکردی مناسب برای حفظ و در صورت امکان، افزایش موجودی جنگل در هر منطقه، مستلزم در اختیار داشتن اطلاعات و مدارک منطبق با شرایط روز عرصه‌های جنگلی مورد نظر است. تراکم پوشش جنگل، یکی از مهم‌ترین مشخصه‌های کمی است که در برنامه‌ریزی و اجرای طرح‌های جنگل‌داری و به ویژه در احیای جنگل‌های مخروبه، مورد توجه قرار می‌گیرد. از آنجایی که پوشش گیاهی موجود در جنگل‌های زاگرس قادر به تولید چوب قابل استفاده در صنایع مربوطه نمی‌باشد، بنابراین نمی‌توان حجم توده جنگلی را به عنوان یک عامل بررسی و اندازه‌گیری مورد استفاده قرار داد (۱۲). در نتیجه باید از مشخصه دیگری مانند تاج پوشش برای بررسی روند تحولات کمک گرفت (۲۵). آماربرداری زمینی و استفاده از روش‌های میدانی به منظور تهیه نقشه‌های مربوط به پوشش جنگل، پرهزینه بوده و انجام دوره‌ای آن، بسیار زمان‌بر است، بنابراین ابداع روشی برای خودکار نمودن فرآیند تهیه نقشه از مناطق بزرگ جنگلی و کسب اطلاعات بهنگام برای اجرای عملیات جنگل‌داری که با دقتی قابل قبول، هزینه مالی و زمانی کمتری

پاک‌خصال و بنیاد (۱۶) به طبقه‌بندی تراکم تاج پوشش جنگل‌های خزری با استفاده از مدل FCD پرداختند. بدین منظور نقشه تراکم جنگل با استفاده از طبقه‌های تراکم تاج پوشش ۵-۲۵، ۲۵-۵۰، ۵۰-۷۵ و ۷۵-۱۰۰ درصد و یک طبقه فاقد جنگل (بایر) تهیه شد. نتایج نشان داد که نقشه تراکم تاج پوشش جنگل دارای ۷۱ درصد صحت کلی و ضریب کاپای آن ۰/۶۱ می‌باشد.

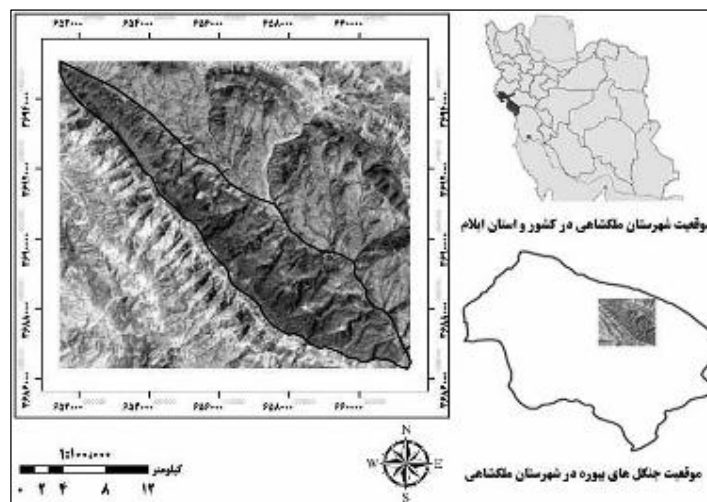
هدف این تحقیق بررسی قابلیت داده‌های سنجش‌از‌دور لندست ۸ به‌منظور تهیه نقشه تراکم تاج پوشش با استفاده از مدل FCD در جنگل‌های بیوره شهرستان ملکشاهی واقع در استان ایلام است.

مواد و روش‌ها

مشخصات منطقه مورد مطالعه

منطقه مورد مطالعه بخشی از جنگل‌های شهرستان ملکشاهی در استان ایلام موسوم به بیوره با مساحت ۲۰۶۰ هکتار می‌باشد. این منطقه جنگلی در مجاورت شهر ارکواز ملکشاهی با گسترش شمال غربی- جنوب شرقی و در جنوب کوه معروف کبیر کوه امتداد دارد. از نظر موقعیت جغرافیایی بین طول‌های ۶۵۱۴۱۴ و ۶۶۱۵۰۰ و عرض‌های ۳۶۸۶۳۱۱ و ۳۶۹۵۰۳۸ در زون ۳۸ شمالی واقع شده است. جنگل‌های منطقه عمدتاً جز جوامع جنگلی مناطق خشک و نیمه‌خشک سلسله جبال زاگرس بوده و تیپ غالب جوامع جنگلی در اکثر مناطق گونه بلوط ایرانی است. پسته وحشی (بنه)، زالزالک، بادام‌کوهی، داغداغان و کیکم سایر گونه‌های جنگلی را تشکیل می‌دهند.

است. کانگالتون (۶) در طبقه‌بندی تیپ‌های جنگلی در روش همزمان به‌کارگیری عکس‌های هوایی و داده‌های زمینی به حداکثر صحت کلی ۹۱٪ دست یافتند که البته آن‌ها از مجموعه گسترده‌ای از داده‌های کمکی و لایه‌های موجود در سیستم اطلاعات جغرافیایی استفاده کردند. چاندراشخا و همکاران (۷) نقشه طبقه‌بندی تراکم تاج پوشش بخش جنوبی دره دون از ایالت اوتارانچال را به کمک سه روش قطعه‌بندی، تفسیر چشمی و مدل FCD تهیه نمودند و نتایج را مورد مقایسه قرار دادند. صحت طبقه‌بندی روش FCD، ۸۰/۲۱ درصد، روش تفسیر چشمی، ۸۷/۵۰ درصد و روش قطعه‌بندی ۸۸/۷۱ درصد گزارش شد. بانرجی و همکاران (۵) نقشه تراکم پوشش جنگل را با استفاده از مدل FCD و داده‌های ماهواره TM در جنگل‌های بارانی شمال هندوستان تهیه کردند به‌طوری‌که نقشه حاصله دارای ۸۰ درصد صحت کلی و ضریب کاپایی معادل ۰/۷۳۲۶ می‌باشد. معین آزاد تهرانی و همکاران (۱۱) مدل FCD را برای تراکم جنگل‌های شمال کشور با استفاده از داده‌های ماهواره لندست ۷ مورد ارزیابی قرار داد. نقشه تراکم جنگل به دو صورت ۷ کلاسه‌ای و ۵ کلاسه‌ای بدست آمد. بیشترین میزان صحت کلی و ضریب کاپا در این مطالعه مربوط به روش طبقه‌بندی در ۵ طبقه و به ترتیب ۶۱ و ۳۸ درصد بود. شاهولی کوه‌شور و همکاران (۲۲) اقدام به تهیه نقشه تراکم تاج پوشش جنگل در جنگل‌های نیمه انبوه تا تنک شهرستان مریوان با استفاده از مدل FCD نمودند. میزان صحت کلی و ضریب کاپا در طبقه‌بندی ۶ و ۴ کلاسه به ترتیب ۵۲٪، ۲۹٪ و ۵۳٪، ۳۰٪ بدست آمد. با ادغام طبقات تراکمی تنک‌تر، صحت نقشه‌ها افزایش یافت و بالاترین میزان صحت کلی و ضریب کاپا به ترتیب ۶۲٪ و ۳۹٪ در طبقه‌بندی ۳ کلاسه بدست آمد.



شکل ۱- موقعیت جنگل‌های بیوره در کشور و استان ایلام
Figure 1. position Bivreh forests in the country and Ilam

داده‌های مورد استفاده

در این تحقیق از تصاویر ماهواره لندست ۸ مربوطه سنجنده های OLI و TIRS تاریخ ۱۳۹۳/۰۴/۳۱ استفاده شد. همچنین جهت تهیه نقشه واقعیت زمینی از تصاویر ارائه شده در پایگاه اینترنتی مرکز منطقه‌ای زیرساخت اطلاعات مکانی^۱ کشور که دارای قدرت تفکیک مکانی بالا و به روز هستند استفاده گردید. نقشه‌های رقومی توپوگرافی منطقه با مقیاس ۱:۲۵۰۰۰ و مدل رقومی ارتفاع منطقه جهت تصحیحات تصاویر به کار برده شد.

ماهواره لندست ۸

لندست ۸ اخذ مستمر داده و در دسترس بودن داده‌های لندست را با استفاده از دو سنجنده، یکی سنجنده عملیاتی تصویرساز سرزمین (OLI) که دارای نه باند طیفی می‌باشد و دیگری سنجنده حرارتی مادون قرمز (TIRS)^۲ که دارای دو باند طیفی است، تضمین خواهد کرد. در این مطالعه سه باند شماره ۱، ۸ و ۹ سنجنده OLI و باند شماره ۱۱ سنجنده TIRS با توجه به هدف تحقیق مورد استفاده قرار نگرفتند.

جدول ۱- خصوصیات داده‌های سنجنده OLI ماهواره لندست ۸

Table 1. Specifications of Landsat OLI Satellite Data 8

باند های طیفی	محدوده طیفی (میکرومتر)	تفکیک مکانی (متر)	شماره باند
باند Coastal / Aerosol	۰/۴۳-۰/۴۵	۳۰ متر	۱
مرئی (آبی)	۰/۴۵-۰/۵۱	۳۰	۲
مرئی (سبز)	۰/۵۲-۰/۶۰	۳۰	۳
مرئی (قرمز)	۰/۶۳-۰/۶۸	۳۰	۴
مادون قرمز نزدیک	۰/۸۴-۰/۸۸	۳۰	۵
مادون قرمز میانی	۱/۵۶-۱/۶۶	۳۰	۶
مادون قرمز میانی	۲/۱۰-۲/۳۰	۳۰	۷
پانکروماتیک	۰/۵-۰/۶۸	۱۵	۸
Cirrus	۱/۳۶-۱/۳۹	۳۰	۹

جدول ۲- خصوصیات داده‌های سنجنده TIRS ماهواره لندست ۸

Table 2. Specifications of the TIRS Satellite Data for Landsat Satellite 8

باند های طیفی	محدوده طیفی (میکرومتر)	تفکیک مکانی (متر)	شماره باند
مادون قرمز طول موج بلند	۱۰/۳۰-۱۱/۳۰	۱۰۰	۱۰
مادون قرمز طول موج بلند	۱۱/۵۰-۱۲/۵۰	۱۰۰	۱۱

روش تحقیق

تصحیح هندسی و ارتفاعی

به منظور اعمال تصحیح هندسی بر روی تصویر ماهواره‌ای با استفاده از روش نقشه به تصویر تعداد ۳۲ نقطه کنترل زمینی بر روی لایه‌های وکتوری جاده‌ها و آبراه‌ها استخراج شده از نقشه‌های توپوگرافی و همچنین نقاط مرجع زمینی ثبت شده با GPS استفاده شد و نقاط متناظر آنها بر روی تصویر تعیین شد پس از به کارگیری روش نا پارامتری چندجمله‌ای^۳ و حذف نقاط نامناسب، تصحیح هندسی با تعداد ۲۵ نقطه کنترل زمینی و میزان خطای ریشه میانگین مربعات (RMSE)^۵ ۰/۲۹ پیکسل صورت گرفت.

به دلیل کوهستانی بودن منطقه تصحیح ارتفاعی نیز بر روی تصاویر اعمال شد. این کار با استفاده از مدل رقومی ارتفاع (DEM) منطقه به کمک ۲۰ نقطه به روش تصویر به نقشه و خطای ریشه میانگین مربعات ۰/۳۸ پیکسل انجام شد. لازم به ذکر است که در تصحیحات هندسی، مقدار خطای ریشه میانگین مربعات قابل قبول، کمتر از ۰/۵ پیکسل است (۱۳). همچنین به منظور کاهش اثر گرد و غبار و ذرات معلق از مدل کاست در نرم افزار IDRISI Selva استفاده شد. برای کنترل دقت تصحیحات هندسی اعمال شده، لایه‌های خطی تهیه شده در محیط Arc GIS 10.2 مانند جاده‌ها و آبراهه را روی تصویر قرار داده که میزان تطابق آنها رضایت بخش بود.

مدل FCD

روش FCD روش مدل مبنایی است که با استفاده از واکنش طیفی عوارض سطح زمین، تراکم جنگل را محاسبه

می‌کند. در مدل FCD نیاز به باند حرارتی و شاخص حرارتی است، از این نظر در اجرای آن از داده‌های لندست ۸ استفاده گردید. اجرای مدل تعیین انبوهی تاج پوشش جنگلی با استفاده از FCD دارای ۷ مرحله است. این ۷ مرحله شامل نرمالیزه نمودن تصویر، تهیه شاخص گیاهی و شاخص گیاهی پیشرفته، تهیه شاخص خاک بایر، تهیه شاخص حرارتی، تهیه شاخص سایه و شاخص سایه پیشرفته و تهیه نقشه نهایی FCD می‌باشد. در این بررسی، هریک از مراحل هفت گانه در نرم افزار ایدریسی مدل سازی شدند.

قبل از هر چیز اطمینان یافتن از کیفیت و صحت هندسی و رادیو متریک تصاویر ضروری می‌باشد؛ سپس تمامی باندها به جز باند حرارتی با استفاده از روابط خطی زیر نرمالیزه می‌شوند.

$$X_1 = M - 2S, X_2 = M + 2S$$

$$Y_1 = 20, Y_2 = 220$$

$$Y = AX + B$$

$$A = \frac{Y_1 - Y_2}{X_1 - X_2} = \frac{20 - 220}{(M - 2S) - (M + 2S)} = \frac{50}{S}$$

که در این رابطه Y_1 : مقدار عددی DN_{min} و مقدار Y_2 : مقدار عددی DN_{max} می‌باشد. M : مقدار میانگین، S : انحراف معیار داده‌ها، Y : مقدار عددی نرمال و X : مقادیر عددی تصاویر اولیه در هر باند می‌باشد. در مورد منطقه مورد مطالعه نیز این محاسبات برای تمام باندها انجام شد و ابتدا میانگین و

1-<http://www.web2gis.ir/>

2- Operational Land Imager

3- Thermal InfraRed Sensor

4- Nonparametric Polynomial

5- Root Mean Square Error

جایگزینی در فرمول مربوطه تمام باندها به جز باند حرارتی برخوردار نیست (۱۷). به همین دلیل در مدل FCD از شاخص دیگری به نام شاخص استفاده می‌شود که حساسیت بیشتری نسبت به پوشش درختی دارد (۱۹). این شاخص مطابق رابطه زیر تعریف می‌گردد (۵):

$$AVI = [(Band5 + 1)(256 - Band4)(Band5 - Band4)]^{\frac{1}{3}}$$

اساسی این رویکرد، بر پایه ارتباط متقابل و قوی (همبستگی شدید منفی) میان بازتاب خاک بدون پوشش و وضعیت پوشش گیاهی است.

با ترکیب دو شاخص پوشش گیاهی و خاک بدون پوشش، می‌توان به دامنه‌ای به هم پیوسته از وضعیت میزان پوشش گیاهی (پوشش گیاهی بسیار زیاد تا خاک بدون پوشش) در منطقه جنگلی دست یافت. رابطه ریاضی این شاخص عبارت است از (۲۰):

$$BSI = \frac{(Band2 + Band4) - (Band5 - Band2)}{(Band6 + Band1) + (Band5 + Band2)} \times 100 + 100$$

می‌دهد (۱۶). شاخص سایه بر این اساس که در مناطق سایه میزان بازتاب ثبت شده در محدوده باندهای مرئی کم است، محاسبه می‌گردد (۱۱). با توجه به نقشی که شاخص سایه در مدل FCD ایفا می‌کند، می‌توان گفت که این شاخص مهم‌ترین و تأثیرگذارترین شاخص در تعیین میزان انبوهی تاج پوشش جنگل است. از این شاخص در تعیین منابع درختی خارج از جنگل نیز استفاده شده است (۲۵). رابطه ریاضی شاخص سایه چنین است:

$$SI = \sqrt[3]{(256 - Band2) \times (256 - Band3) \times (256 - Band4)}$$

$$T = \frac{K_2}{\ln\left(\frac{K_1}{L} + 1\right)}$$

$$K_1 = 774.89 \frac{\text{watts}}{\text{m}^2 \cdot \text{ster. am}}$$

$$K_2 = 1321.08 \text{ (Kelvin)}$$

$$L_{Min} = 0.1003 \frac{\text{watts}}{\text{m}^2 \cdot \text{ster. am}}$$

$$L_{Max} = 22.0018 \frac{\text{watts}}{\text{m}^2 \cdot \text{ster. am}}$$

در این روابط Q: مقدار عددی پیکسل در باند ۱۰، T: درجه حرارت زمینی برحسب کلون، K1 و K2: ثابت‌های مربوط به تنظیم سیستم سنجنده و L: مقدار رادیانس برگشتی در باند مادون قرمز حرارتی می‌باشد (۱۶).

انحراف معیار باندها استخراج و سپس با تبدلات خطی بالا و نرمال شد. باندها پس از نرمالیزه شدن در یک محدوده معین قرار می‌گیرند تا استاندارد معینی داشته باشند (۱۶).

شاخص گیاهی پیشرفته (Advanced Vegetation Index: AVI)

شاخص گیاهی به دلیل ناتوانی در حذف اثرات بازتاب پس زمینه خاک، در تعیین تراکم پوشش گیاهی از دقت کافی

شاخص خاک لخت (Bare Soil Index: BSI)

در مواردی که پوشش گیاهی کمتر از ۵۰ درصد است، مقادیر محاسبه شده برای شاخص گیاهی به واقعیت نزدیک نیست (۱۹). به همین خاطر برای مشخص نمودن نواحی فاقد پوشش گیاهی از BSI استفاده می‌شود. اساس آن بر تأثیر متقابل خاک بدون پوشش و پوشش دار استوار است. این شاخص از اطلاعات باند مادون قرمز میانی به منظور جداسازی پوشش گیاهی از دیگر پوشش‌ها استفاده می‌کند. منطق

پس از محاسبه شاخص BSI، دامنه مقادیر تصویر حاصل به محدوده دامنه ۸ بیتی تغییر داده شد.

شاخص سایه گیاهان (Shadow Index: SI)

در مدل FCD برای استخراج اطلاعات مربوط به ساختار جنگل از طریق داده‌های دورسنجی، خصوصیت سایه با بهره‌گیری از داده‌های طیفی مربوط به سایه جنگل و داده‌های حرارتی که تحت تأثیر سایه قرار دارد، بررسی می‌گردد. در جنگل‌های جوان و تقریباً مسطح شاخص سایه مقدار کمتری را در مقایسه با جنگل‌های رشد یافته و قدیمی از خود نشان

شاخص حرارتی (Thermal Index: TI)

در جنگل، دو عامل باعث خنک‌تر شدن نسبی محیط می‌شود. عامل نخست، اثر پوششی تاج پوشش جنگلی است که مانع از رسیدن انرژی خورشید شده و آن را جذب می‌کند. عامل دیگر، تبخیر از سطح برگ است که باعث تعدیل گرما می‌شود. از این ویژگی می‌توان به عنوان ابزاری برای تفکیک مناطق سایه از مناطقی که خاک آن‌ها تیره است، استفاده نمود.

برای تهیه نقشه تراکم تاج پوشش جنگل منطقه مورد مطالعه تهیه شاخص TI لازم است. در این مرحله شاخص حرارتی به دست می‌آید. این شاخص با استفاده از داده‌های حرارتی سنجنده TIRS در باند ۱۰ حاصل می‌گردد و خروجی آن در واقع دمای هر پیکسل بر روی زمین برحسب درجه کلون است. جهت محاسبه شاخص حرارتی، ابتدا مقادیر باند ۱۰، طبق رابطه اول به بازتابش مطلق تبدیل گردید و سپس طبق رابطه دوم، شاخص حرارتی محاسبه گردید (۱۰).

$$L = L_{Min} + \left[\frac{(L_{Max} - L_{Min})}{255} \times Q \right]$$

بیانگر وجود حداکثری در میزان تاج پوشش بوده و در مقابل $SSI=0$ بیانگر کمترین میزان تاج پوشش جنگلی در منطقه مورد مطالعه است. با توسعه شاخص SSI به راحتی می‌توان تفاوت بین گیاهان تاج پوشش‌دار را با گیاهان موجود روی زمین دریافت. این قابلیت یکی از بهترین ویژگی‌های مدل FCD تلقی می‌شود و با استفاده از آن می‌توان افق جدیدی را بر مطالعات گیاهی گشود.

تراکم گیاهی (Vegetation Density: VD)

از آنجایی که اساساً شاخص‌های گیاهی (AVI) و BI همبستگی منفی بسیار بالایی دارند، با ترکیب آن‌ها و استفاده از مؤلفه اول روش تجزیه به مؤلفه‌های اصلی شاخص تراکم گیاهی به دست می‌آید. برای تهیه این شاخص ابتدا این دو شاخص باهم ترکیب شدند و سپس مؤلفه اول این ترکیب به عنوان تراکم گیاهی استفاده شد. اولین مؤلفه خروجی این تحلیل که دربرگیرنده اطلاعات دو شاخص ورودی آن است، بیانگر تراکم پوشش گیاهی می‌باشد. همانند شاخص سایه مقیاس داده شده، مقادیر این شاخص را نیز از ۰ تا ۱۰۰ مرتب گردید تا درصد تاج پوشش بدست آید.

تهیه نقشه تراکم پوشش جنگل (FCD)

با استفاده از شاخص‌های سایه و تصویر تراکم گیاهی که مقادیر هر دو آن‌ها از ۰ تا ۱۰۰ مرتب شده است، نقشه FCD منطقه برحسب درصد بدست می‌آید. مدل FCD از رابطه زیر محاسبه می‌شود که از این رابطه در نرم‌افزار با جایگزینی تراکم گیاهی و شاخص سایه، مدل انبوهی تاج پوشش جنگل تهیه می‌شود (۱۶).

$$FCD = \sqrt{VD \cdot SSI + 1} - 1$$

با استفاده از رابطه اخیر، نقشه تراکم تاج پوشش جنگل محاسبه گردید. از روی داده‌های حاصل از اجرای مدل، تصویری تهیه می‌شود که ارزش عددی هر پیکسل آن نشانگر درصد تاج پوشش در محدوده جنگلی متناظر آن پیکسل است. سپس نقشه حاصل به دو صورت طبقه‌بندی گردید: ۱- بر اساس تعریف شورای عالی جنگل (۷ طبقه) ۲- طبقه‌بندی ۵ طبقه‌ای (جدول ۳).

پس از استخراج شاخص سایه و شاخص حرارتی از روابط مربوطه، از تلفیق این دو شاخص و اعمال آستانه مناسب مناطق فاقد پوشش گیاهی استخراج می‌شود.

شاخص سایه پیشرفته (Advanced ShadowIndex: ASI)

وقتی تاج پوشش جنگل بسیار متراکم باشد، داده‌های ماهواره‌ای قادر نیستند میزان سایه را ارائه نمایند. در نتیجه امکان دارد تراکم تاج پوشش، درست برآورد نشود. برای اینکه خطای ناشی از مناطق فاقد پوشش گیاهی و در نظر گرفتن سایه ناشی از عوارضی نظیر کوه‌ها به عنوان سایه تاج پوشش درختان جنگلی کاهش یابد و به بیان دیگر به منظور کمینه کردن خطای شمول شاخص سایه، با انجام برخی پردازش‌ها و روش‌های آستانه گذاری شاخص سایه پیشرفته را بدست می‌آوریم. تهیه این شاخص شامل سه گام زیر است:

الف) پردازش مکانی

ب) آشکار نمودن فضای خالی جنگل

با استفاده از شاخص VI و تعیین حد آستانه مناسب (برای مناطق جنگلی $ASI=SI$ و برای مناطق غیر جنگلی $ASI=0$) در نظر گرفته می‌شود.

ج) آشکار سازی مناطق خاک بایر

با استفاده از شاخص TI و انتخاب آستانه مناسب (چنانچه مقدار یک پیکسل بزرگ‌تر از حد آستانه باشد $ASI=0$ و چنانچه مقدار پیکسل کوچک‌تر از حد آستانه باشد $ASI=SI$) خواهد بود (۱۶).

با استفاده از شاخص سایه پیشرفته می‌توان میان پوشش گیاهی مربوط به تاج پوشش درختان جنگل و پوشش گیاهی غیر جنگلی تمایز ایجاد نمود. این مسئله یکی از مهم‌ترین برتری‌های این مدل است. این امر باعث کسب نتایج صحیح‌تر نسبت به نتایج تحلیل‌های پیشین می‌شود (۱۱).

شاخص سایه هم قیاس شده (Scaled Shadow Index: SSI)

شاخص سایه تغییر مقیاس داده شده تبدیل خطی شاخص سایه پیشرفته ASI است که مقادیر آن را از صفر تا ۱۰۰ مرتب می‌کند. هدف از انجام این مرحله و تهیه SSI هم قیاس کردن مشخصه‌های ترکیبی به منظور محاسبه مقدار نهایی انبوهی تاج پوشش جنگل (FCD) می‌باشد. $SSI=100$

جدول ۳- طبقات تراکمی ۷ و ۵ طبقه‌ای

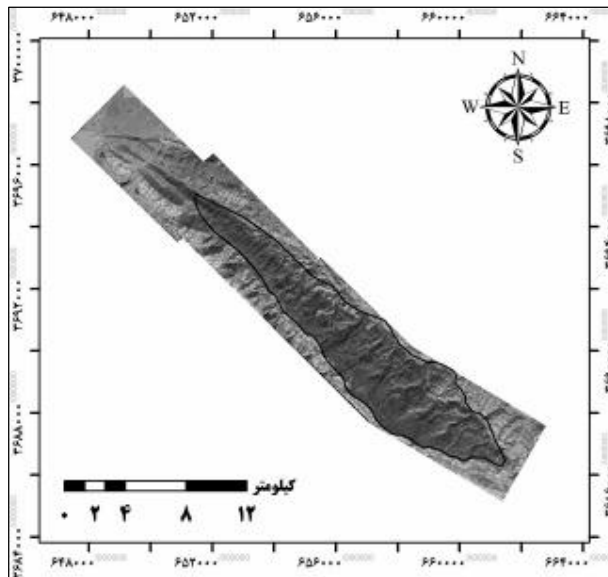
Table 3. Condensation Classes 7 and 5 Class

درصد تراکم تاج پوشش		طبقات تراکمی جنگل	
طبقه‌بندی ۵ طبقه‌ای	طبقه‌بندی ۷ طبقه‌ای		
بیشتر از ۷۵	بیشتر از ۷۵	۱	
۷۵ تا ۵۰	۷۵ تا ۵۰	۲	
۵۰ تا ۲۵	۵۰ تا ۲۵	۳	
۲۵ تا ۱	۲۵ تا ۱۰	۴	
صفر تا ۱ (غیر جنگل)	۱۰ تا ۵	۵	
	۵ تا ۱	۶	
	صفر تا ۱ (غیر جنگل)	۷	

تهیه نقشه واقعیت

تهیه نقشه دقیق تراکم تاج پوشش منطقه مورد مطالعه، برای ارزیابی و بررسی میزان صحت نقشه تراکم تاج پوشش جنگل حاصل از انجام مدل FCD، امری ضروری است. به منظور تهیه نقشه واقعیت زمینی صد درصد منطقه، از تصاویر ارائه شده در پایگاه اینترنتی مرکز منطقه‌ای زیرساخت اطلاعات مکانی کشور که دارای قدرت تفکیک مکانی بالا و به روز هستند استفاده گردید. به طوری بر روی تصویر منطقه تا آخرین حد آن زوم می‌شد به طوری که تمام پدیده‌ها در آن قابل تفکیک باشند سپس از آن عکس تهیه می‌شد، آن عکس در محیط نرم‌افزار Arc GIS ژئورفرنس شده و در محیط نرم‌افزار IDRISI موزاییک قطعات عکس تهیه شد (شکل ۲). لازم به ذکر است که از کل عرصه مورد مطالعه در نهایت ۹۶ قطعه عکس تهیه گردید. بر روی عکس‌های موزاییک شده

ابتدا از طریق تفسیر چشمی مناطق جنگلی از مناطق فاقد جنگل تفکیک شدند. سپس با توجه به تعریف سازمان جنگل‌ها، برای طبقات جنگل و اراضی جنگلی، طبقات تراکمی مختلف با کمک عوامل تفسیر و میزان بسته یا باز بودن تاج پوشش در قالب پلی گون‌های تراکمی مختلف جداسازی گردیدند. تراکم پلی گون‌های دارای طبقه تراکمی یکسان از طریق شبکه نقطه‌چین به صورت کمی محاسبه شد. با توجه به تعداد کل نقاط درون پلی گون‌ها و تعداد نقاط قرارگرفته بر روی تاج درختان، درصد تاج پوشش طبقات تراکمی محاسبه و سپس به هر گروه پلی گون با توجه به درصد تاج پوشش، عددی از شماره ۱ تا ۷ اختصاص یافت. ساختار نقشه واقعیت زمینی جهت مقایسه با نقشه‌های حاصل از مدل FCD از برداری به رستری تبدیل شد و به نرم‌افزار IDRISI وارد شد.



شکل ۲- موزاییک تصاویر اخذ شده جهت تهیه تصویر واقعیت زمینی
Figure 2. Mosaic images taken to create a reality image

نتایج به صورت جدولی تهیه گردید و صحت کلی و ضریب کاپا محاسبه شد.

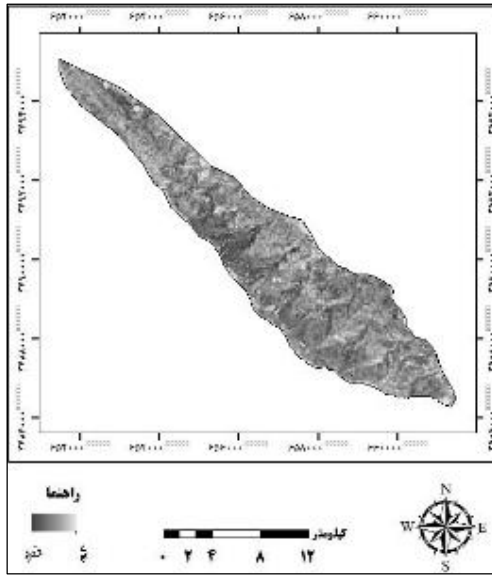
نتایج و بحث

شکل ۳ نتایج محاسبه شاخص گیاهی پیشرفته را نشان می‌دهد. ملاحظه می‌گردد که هرچایی که پررنگ تر میزان تراکم تاج پوشش بالاتر است. شکل ۴ تصویر حاصل از محاسبه شاخص خاک بدون پوشش را نمایش می‌دهد. در این تصویر قسمت‌های بدون پوشش گیاهی یا با پوشش گیاهی کم پررنگ تر دیده می‌شود و مقدار این شاخص در این مناطق نسبت به مناطق با پوشش گیاهی خوب بیشتر است.

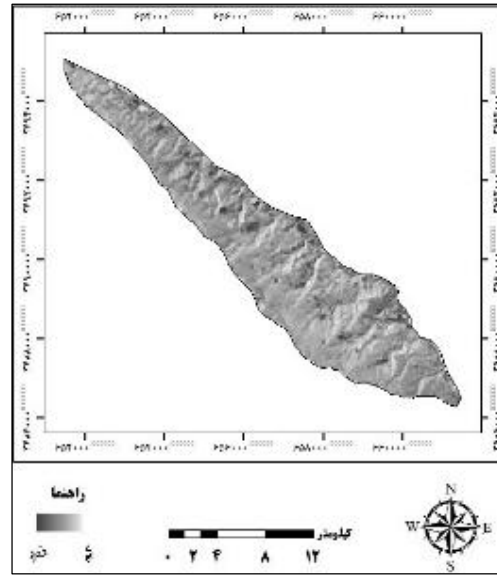
آماره اشتباه معیار و آماره‌های اشتباه آماربرداری و درصد اشتباه آماربرداری برای هر طبقه تراکمی جداگانه محاسبه گردید. برای هر طبقه تراکمی میزان اشتباه آماربرداری باید کمتر از ۱۰ درصد باشد (۱۳). در غیر این صورت شبکه آماربرداری با ابعاد کوچک تر طراحی و تفسیر می‌گردد که این میزان به کمتر از ۱۰ درصد برسد (۴).

تعیین صحت نقشه تراکم حاصل از اجرای مدل

برای ارزیابی قابلیت مدل، نقشه طبقه‌بندی شده تراکم تاج پوشش حاصل از اجرای مدل، با نقشه طبقه‌بندی شده تراکم واقعیت زمینی، به صورت پیکسل به پیکسل مقایسه گردید.



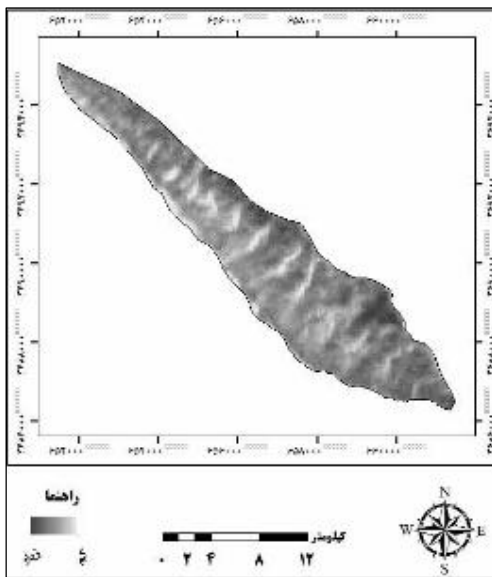
شکل ۴- تصویر حاصل از محاسبه شاخص BI
Figure 4. The image obtained from the index BI



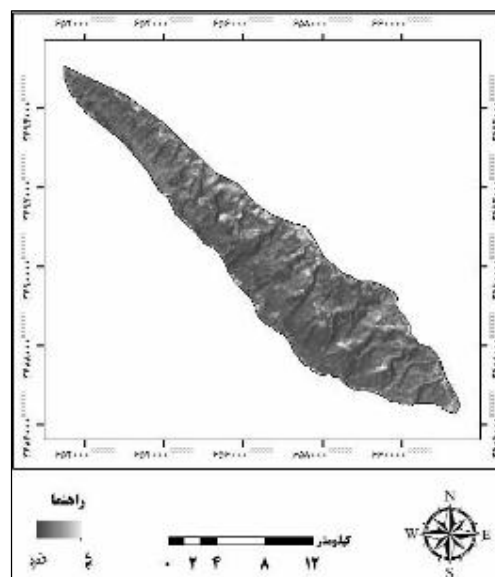
شکل ۳- تصویر حاصل از محاسبه شاخص AVI
Figure 3. Image of the index AVI

ارزش‌ها بین صفر تا ۱۰۰ می‌باشد. به بیان دیگر در شاخص سایه هر پیکسل ممکن است مقداری بین صفر تا ۲۵۵ را دارا باشد، درحالی‌که در شاخص سایه پیشرفته صفر تا ۱۰۰ می‌باشد.

شکل ۵ تصویر حاصل از محاسبه شاخص سایه را نشان می‌دهد. مناطق پررنگ‌تر مناطقی است که میزان سایه در آن‌ها بیشتر است و کمیت این شاخص در آن‌ها زیاده‌تر است. شکل ۶ شاخص سایه پیشرفته را نشان می‌دهد. نحوه محاسبه این شاخص از روی شاخص سایه است، یعنی مرتب کردن



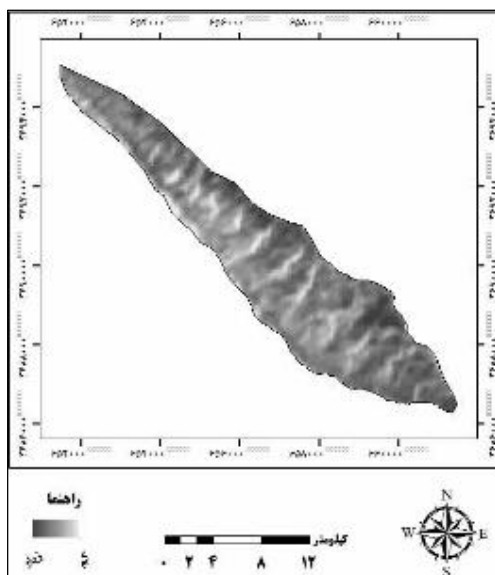
شکل ۶- تصویر حاصل از محاسبه شاخص SSI
Figure 6. Image obtained from the index SI



شکل ۵- تصویر حاصل از محاسبه شاخص سایه (SI)
Figure 5. The image obtained from the shadow index (SI)

قسمت‌ها به‌طور عمده مناطقی هستند که به دلیل نداشتن پوشش جنگلی، میزان جذب انرژی خورشید در آن‌ها زیاد است و میزان تبخیر و تعرق نیز در آن‌ها کم است. بنابراین حرارت بیشتری از خود ساطع می‌کنند.

در شکل ۷ نتایج محاسبه شاخص حرارتی نشان داده شده است. در قسمت‌های پررنگ‌تر تصویر مقادیر بیشتری ثبت شده و حرارت ساطع شده از سطح زمین در این قسمت‌ها نسبت به حرارت سایر قسمت‌ها بیشتر بوده است. این



شکل ۷- تصویر حاصل از محاسبه شاخص TI
Figure 7. The image obtained from the index TI

حاصل محاسبات ضریب همبستگی، میان شاخص گیاهی با خاک بدون پوشش در جدول ۴ درج شده است.

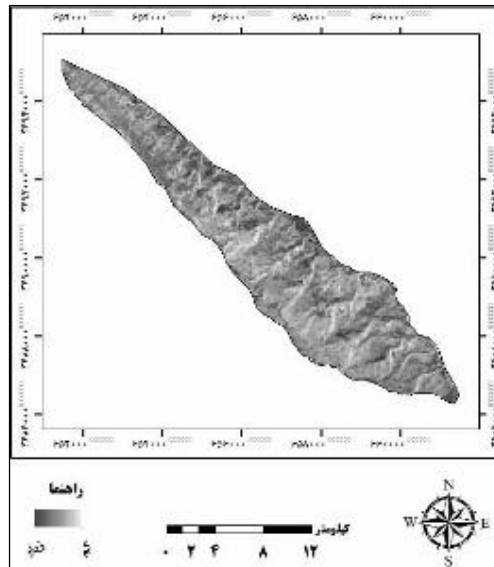
جدول ۴- نتایج محاسبه ضریب همبستگی میان شاخص AVI و BI

Table 4. Results of calculating the correlation coefficient between the AVI and BI index

شاخص‌ها	ضریب همبستگی
BI یا AVI	-۰/۷۳۲۱

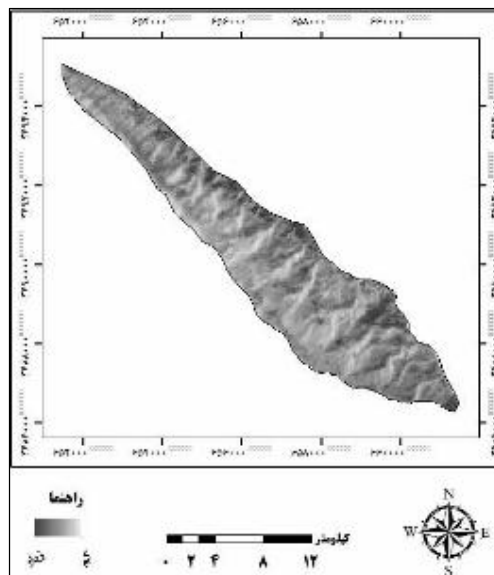
شاخص AVI و BI به روش تحلیل مؤلفه‌های اصلی به دست آمد (شکل ۸).

همان‌طور که دیده می‌شود همبستگی منفی بالایی بین دو شاخص AVI و BI دیده می‌شود. بنابراین با توجه به روند پیشنهادی مدل، شاخص تراکم گیاهی (VD) از ادغام دو



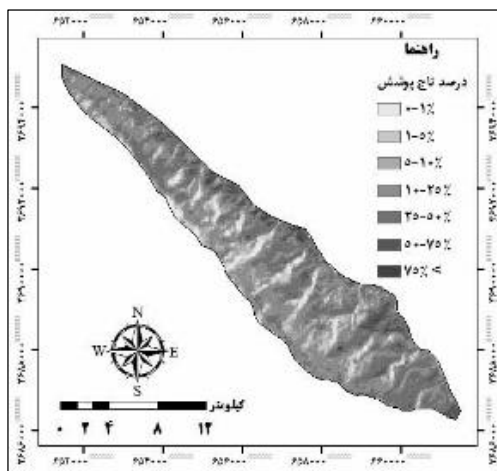
شکل ۸- تصویر حاصل از محاسبه شاخص VD
Figure 8. Image obtained from the index VD

در شکل ۹ نتیجه حاصل از محاسبه درصد تراکم تاج پوشش جنگل (FCD) به صورت نقشه تراکم، نمایش داده شده است. مناطق پررنگ‌تر نمایانگر مناطق با تاج پوشش متراکم‌تر و مناطق روشن‌تر مربوط به مناطق با تراکم تاج پوشش کمتر یا بدون تاج پوشش جنگلی هستند.

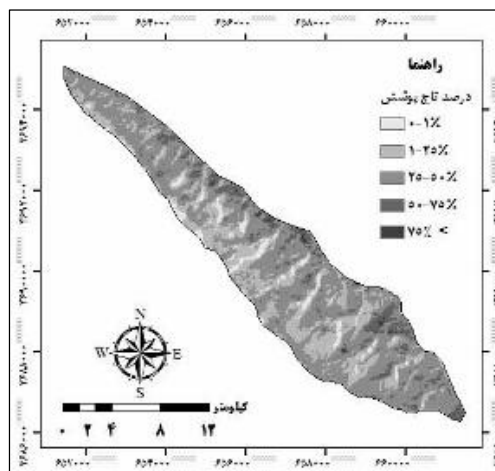


شکل ۹- نقشه درصد تراکم تاج پوشش جنگل (FCD)
Figure 9. forest canopy density map (FCD)

سپس نقشه درصد تراکم تاج پوشش جنگل به دو روش ذکرشده ابتدا به ۷ طبقه و در ادامه به ۵ طبقه طبقه‌بندی گردید. که در تصاویر ۱۰ و ۱۱ نشان داده شده‌اند.



شکل ۱۱- نقشه تراکم پوشش جنگلی در هفت طبقه
Figure 11. Density map forest cover in seven categories



شکل ۱۰- نقشه تراکم پوشش جنگلی در پنج طبقه
Figure 10. Density map forest cover five floors

ارائه شده است.

نتایج حاصل از مقایسه نقشه‌های طبقات تراکم به دست آمده از مدل FCD با نقشه‌های واقعیت زمینی در جدول‌های ۵ و ۶

جدول ۵- نتایج برآورد صحت حاصل از طبقه‌بندی در ۷ طبقه تراکمی

Table 5. Results of Accuracy Estimation from Classification in 7 Stocks

طبقات (درصد)	صحت تولیدکننده (%)	صحت کاربر (%)	صحت کلی (%)	ضریب کاپا
غیر جنگل (۱-۰)	۵/۹۱	۱۴/۱۷		
۱-۵	۱۳/۳۳	۲۶/۳۱		
۵-۱۰	۲۳/۷۵	۴۶/۹۷		
۱۰-۲۵	۴۳/۱۱	۴۸/۵۷	۴۹/۸۶	۰/۳۳
۲۵-۵۰	۵۴/۳۷	۷۵/۱۸		
۵۰-۷۵	۱۵/۱۹	۲۸/۳۷		
بیش از ۷۵	۷/۲۷	۱۴/۵۳		

جدول ۶- نتایج برآورد صحت حاصل از طبقه‌بندی در ۵ طبقه تراکمی

Table 6. Accuracy results from classification in 5 groups

طبقات (درصد)	صحت تولیدکننده (%)	صحت کاربر (%)	صحت کلی (%)	ضریب کاپا
غیر جنگل (۱-۰)	۱۵/۷۶	۱۸/۳۲		
۱-۲۵	۶۲/۱۳	۵۷/۴۳		
۲۵-۵۰	۸۲/۲۶	۸۵/۴۱	۶۱/۳۴	۰/۴۲
۵۰-۷۵	۵۳/۳۱	۶۳/۲۸		
بیش از ۷۵	۱۶/۱۱	۱۹/۳۵		

طبقه‌بندی به صورت ۵ طبقه نیز انجام گرفت. صحت کلی و ضریب کاپای بدست آمده از طبقه‌بندی تراکم تاج پوشش جنگل در این حالت به ترتیب ۶۱٪ و ۰/۴۲ بدست آمد. که افزایش چشم‌گیری در میزان صحت را نشان داد. در حالت طبقه‌بندی ۷ کلاس طبقه ۲۵-۵۰ درصد و در حالت طبقه‌بندی ۵ کلاس طبقه ۲۵-۵۰ درصد دارای بیشترین صحت تولیدکننده هستند درحالی‌که کمترین میزان صحت تولیدکننده در طبقه‌بندی هفت کلاس و پنج کلاس به طبقه غیر جنگل مربوط می‌شود. از این رو می‌توان نتیجه گرفت که کارایی مدل در تفکیک جنگل نیمه انبوه تا انبوه مناسب است، درحالی‌که مدل در تفکیک طبقات با تراکم پایین و بدون پوشش، دقیق عمل نمی‌کند. شاهیولی کوه شو و همکاران

به‌طورمعمول کاربرد سنجش‌ازدور سنتی در جنگل‌داری، بر اساس آنالیز کیفی داده‌های بدست آمده از نمونه‌های تعلیمی یا واقعیت زمینی است. برخلاف روش کیفی و سنتی، مدل FCD پدیده رویش جنگل را که جزو تحلیل‌های کمی و عددی است را مشخص می‌نماید. در این روش، درجه تراکم جنگل برای هر پیکسل به درصد محاسبه می‌شود. داده‌های مدل FCD، شدت عملیات احیاسازی موردنیاز را نشان می‌دهد و همچنین امکان پایش تغییرات ایجادشده در وضعیت جنگل در طول زمان، مانند کاهش و تخریب جنگل را ممکن می‌سازد (۱۹). در این مطالعه میزان صحت کلی و ضریب کاپای بدست آمده از طبقه‌بندی تراکم تاج پوشش در ۷ طبقه، به ترتیب ۴۹٪ و ۰/۳۳ بود. جهت بهبود صحت نتایج،

با توجه به اینکه روش FCD در تفکیک طبقات تراکمی بسیار متراکم، دقیق‌تر عمل می‌نماید و در جنگل‌های زاگرس طبقات تراکمی بسیار انبوه یافت نمی‌شود و همچنین به دلیل بازتاب زیاد خاک زمینه و اختلاط طیفی پوشش اصلی، صحت کلی نقشه‌های تراکم تاج پوشش حاصل از اجرای مدل در جنگل‌های زاگرس در مقایسه با اجرای مدل در جنگل‌های متراکم‌تر، پایین‌تر می‌باشد.

احمدی ثانی و همکاران (۳) و عبدالهی و همکاران (۱) و عبدالهی و شتایی (۲) در مطالعاتی در جنگل‌های زاگرس با استفاده از خوارزمی‌های مختلف طبقه‌بندی نظارت‌شده اقدام به تهیه نقشه تراکم تاج پوشش در این جنگل‌ها نمودند و به صحت‌های کلی بالاتر از ۷۸ درصد دست پیدا نکردند که صحت‌های بدست آمده از این مطالعات از صحت کلی تحقیق حاضر بالاتر است چراکه آن‌ها از روش‌های طبقه‌بندی نظارت‌شده که نیاز به جنگل گردشی زیاد و برداشت نمونه‌های تعلیمی دقیق جهت معرفی به سیستم دارند. برداشت نمونه‌های تعلیمی مناسب و جنگل گردشی، نیاز به صرف زمان و هزینه زیادی دارد. حال آنکه در روش FCD، به دلیل عدم نیاز به تعیین نمونه‌های تعلیمی، حجم کار و در نتیجه هزینه انجام کار به مراتب کمتر از روش‌های دیگر طبقه‌بندی است. بنابراین با توجه به شرایط دشوار دسترسی و کار در عرصه‌های جنگلی، استفاده از الگوریتم‌هایی که با داده‌های تعلیمی اندک نتایج قابل قبولی ارائه دهند، بسیار مورد توجه خواهد بود لذا با توجه به نزدیک بودن نتایج حاصل از اجرای مدل FCD جهت تهیه نقشه تراکم تاج پوشش و نتایج حاصل از انواع طبقه‌بندی کننده‌ها در تحقیق‌های اشاره شده، استفاده از این مدل در تهیه نقشه تراکم جنگل با طبقه‌بندی ۵ کلاسه در شرایط فعلی منطقی به نظر می‌رسد. بنابراین از آنجاکه مدیریت جنگل‌های زاگرس در چارچوب یک سیاست جنگلداری منسجم نیازمند گستره وسیعی از اطلاعات به هنگام است و یکی از عوامل مهم در تعیین وضعیت این جنگل‌ها، اطلاع از تراکم تاج پوشش می‌باشد، نتایج تحقیق می‌تواند گامی در راستای مدیریت بهتر این سرمایه‌ها به شمار رود.

(۲۳) نیز در تحقیق خود در جنگل‌های غرب کشور به نتایج مشابهی دست یافتند، همچنین معین آزاد تهرانی (۱۱) در مطالعه خود این موضوع را تایید کرده است که بیشترین میزان صحت کاربر و تولیدکننده در طبقه‌بندی ۷ طبقه، مربوط به طبقه جنگل بسیار انبوه (۷۵-۱۰۰ درصد) و پایین‌ترین میزان صحت تولیدکننده نیز به طبقات اراضی (۱-۵ درصد) جنگل مربوط می‌شود. با وجود اینکه این مدل برای برآورد دقیق‌تر وضعیت پوشش جنگلی، شاخص خاک بدون پوشش را مورد استفاده قرار می‌دهد، اما مشاهده گردید که همچنان در پوشش‌های کم تراکم از صحت کمتری برخوردار است. روی و همکاران (۲۱) و ریکیمورا و همکاران (۲۰) از مدل FCD جهت تهیه نقشه تراکم تاج پوشش جنگل‌های همسال و جنگل کاری‌ها و ناندی (۱۴) و عزیزی و همکاران (۴) جهت تهیه نقشه تراکم تاج پوشش جنگل‌های مخلوط پهن‌برگ از این مدل استفاده نمودند. صحت کلی حاصل از اجرای روش FCD در مقایسه با نقشه واقعیت زمینی در این تحقیقات بیش از ۸۰٪ برآورد شد. علت صحت بالاتر این مطالعات در مقایسه با تحقیق حاضر را می‌توان در ساختار و تراکم تاج پوشش جنگل‌ها و شرایط توپوگرافی منطقه مورد مطالعه، جستجو نمود.

شاید دلیل اصلی ضعف مدل FCD در ارائه طبقات جنگلی تنک و نیمه انبوه را بتوان با توجه به ابعاد معمول تاج پوشش درختان توضیح داد. ابعاد تاج پوشش یک درخت در بسیاری از موارد کمتر از حدی است که بتواند یک پیکسل OLI با ابعاد ۳۰×۳۰ را تحت تأثیر قرار دهد، این امر برای باندهای ادغام‌شده با ابعاد ۱۵ متر نیز صادق است (۱۴). اگر نزدیکی و مجاورت درختان به اندازه‌ای باشد که یک پیکسل را تحت تأثیر قرار دهد، آنگاه دیگر با طبقه تراکم انبوه و بسیار انبوه مواجه خواهیم بود که مدل FCD به‌خوبی نمایان می‌شود (۲۴). علاوه بر این پیاده‌سازی مدل در مناطق صرفاً جنگلی منجر به افزایش ضریب کاپا و دقت کلی خواهد شد، زیرا در چنین مناطقی طبقه‌های انبوهی تنک و نیمه انبوه بسیار کمتر بوده و ضعف مدل در ارائه این طبقه‌ها مشهود نخواهد بود.

منابع

1. Abdollahi, H., Sh. Shataee, A. Sepehri and H. Zanganeh. 2010. Comparing investigation on landsat-ETM⁺ and IRS-P6-LISSIV data for canopy cover mapping of Zagros forests (case study: Javanroud forests). *Wood & Forest Science and Technology*, 17(3): 1-18 (In Persian).
2. Abdollahi, H. and Sh. Shataee. 2012. Comparative evaluation of IRS-P6-LISSIV images for canopy cover mapping of Zagros forests (case Study, Javanroud Forests). *Wood & Forest Science and Technology*, 19(1): 43-60 (In Persian).
3. Ahmadi Sani, N. 2005. An Investigation on capabilities of Aster data to provide forest density maps (case study, forests of Marivan), M.Sc. Thesis, University of Tehran, Faculty of Natural Resources, 87 pp (In Persian).
4. Azizi, Z., A. Najafi and H. Sohrabi. 2008. Forest canopy density estimating, using satellite images. Commission VIII, WG VIII/11, Proceedings of ISPRS, Beijing (China) 4-6.
5. Banerjee, K., P. Surajit, B. Jatisankar and K. Manish. 2014. Forest Canopy Density Mapping Using Advance Geospatial Technique. *International Journal of Innovative Science, Engineering & Technology*, 1(7): 6 pp.
6. Cangalton, R.G., K. Green and J. Teply. 1993. Mapping Old Growth Forests on National Park Lands in The Pacific Northwest from Remotely. *Photogrammetric Eng. and Remote Sens*, 59(4): 529-535.
7. Chandrashekar, M.B., S. Saran, P. Raju and P. Roy. 2005. Forest canopy density stratification: How relevant is biophysical spectral response modelling approach? *Geocarto International*, 20(1): 15-21.
8. Firman, H., W. Ketut and S. Irawan. 2004. Implementation of Forest Canopy Density model to monitor fragmentation in Mt. Simpang and Mt Tilu nature reserves, West Java, Indonesia. 3rd FIG Regional Conference Jakarta, Indonesia, October 3-7.
9. JOFCA. 1997. Utilization in site assessment and planning for rehabilitation of logged-over forest. Project report prepared for ITTO. Rep. 68 pp.
10. Moeinazad, Tehrani, S.M., A.A. Darvishsefat and M. Namiraniyan. 2008. Evaluation of FCD Model for estimation of forest density using Landsat 7 imagery (Case study: Chalus Forest). *Iranian Journal of Forest and Poplar Research* 16(1): 23-37 (In Persian).
11. Joshi, C., J.D. Leeuw, A.K. Skidmore, I. Duren and H. Van Oosten. 2006. Remotely sensed estimation of forest canopy density: A comparison of the performance of four methods. *International Journal of Applied Earth Observation and Geoinformation*, 8(2): 84-95.
12. Mahdavi, A., M. Niknejad and O. Karami. 2014. Multi-Criteria Evaluation of Land for Ecotourism Development (Case Study: Khorram-Abad Country). *Ecology of Iranian Forest*, 2(4): 56-69.
13. Mahdavi, A., O. Karami and J. Mirzaei. 2013. Application of Analytical Network Process (ANP) in Determination and Evaluation of Potential Area to Ecotourism Development in Badreh Area, Ilam. *Ecology of Iranian Forests*. 2013, 1(1): 30-45.
14. Nandy, S., P. Joshi and K. Das. 2003. Forest canopy density stratification using biophysical modeling. *Journal of the Indian Society of Remote Sensing*, 31(4): 291-297.
15. Niknejad, M., V. Mirzaei zadeh and M. Heydari. 2014. Comparing different classifications of satellite imagery in forest mapping (Case study: Zagros forests in Iran). *International Research Journal of Applied and Basic Sciences* © 2014 Available online at www.irjabs.com ISSN 2251-838X / Vol, 8(7): 1407-1415 Science Explorer Publications.
16. Pakkhesal, E. and A.E. Bonyad. 2013. Classification and delineating natural forest canopy density using FCD model (Case study: Shafarud area of Guilan). *Iranian Journal of Forest and Poplar Research*, (In Persian).
17. Pôças, I., M. Cunha, Pereira, L.S. and R.G. Allen. 2013. Using remote sensing energy balance and evapotranspiration to characterize montane landscape vegetation with focus on grass and pasture lands. *International Journal of Applied Earth Observation and Geoinformation*, 21: 159-172.
18. Rahdari, V., S.M. Najaf Abadi, F. Amiri, A.R.M. Shariff and T. Tabatabaie. 2012. Detection of land-use/cover changes over Chahnimeh in Iran using LandSat TM images. *Fresenius Environmental Bulletin*, 21(12): 3825-3835.
19. Rikimaru, A. 2003. Concept of FCD Mapping Model and Semi-Expert System. Japan Overseas Forestry Consultants Association. Rep. 72 pp.
20. Rikimaru, A., Y. Utsuki and S. Yamashita. 1998. The Basic Study of the Maximum Logging Volume Estimation for Consideration of Forest Resources Using Time Series FCD Model.
21. Roy, P.S. 1997. Space Remote Sensing for Forest Management. Indian Institute of Remote Sensing (National Remote Sensing Agency). www.biospec.org/bpmt/P.S.Roy_Biodata.doc.
22. Saei Jamalabad, M. and A.A. Abkar. 2004. Forest Canopy Density monitoring, using satellite images. *Map Asia* 2003.
23. Shahvali Kouhshour, A., M. Pir Bavaghar and P. Fatehi. 2012. Forest cover density mapping in sparse and semi dense forests using forest canopy density model (Case study: Marivan forests). *Journal of Applied RS & GIS Techniques in Natural Resource Science*, (In Persian).
24. Taefi, M. 2006. Evaluation and optimization of FCD model in order to estimate forest canopy density using Merger data method and image index. Faculty of survey engineering, Nasir aldin Tusi University, 95 pp (In Persian).
25. Yeganeh, H., S. Jamale Khajedein, F. Amiri and A.R.M. Shariff. 2012. Monitoring rangeland ground cover vegetation using multitemporal MODIS data. *Arabian Journal of Geosciences*, 1-12. doi: 10.1007/s12517-012-0733-0.
26. Zobeiri, M. 2002. *Forest Biometry*. University of Tehran Press. 405 pp (In Persian).

Estimation of Forest Canopy Density using FCD

Vahid Mirzaei Zadeh¹, Maryam Niknejad² and Seyed Mohamah Hojjati³

1- Graduated M.Sc. Student, university of Ilam

2- Ph.D. Student, Sari University of Agriculture Sciences and Natural Resources,
(Corresponding author: maryam612niknejad@yahoo.com)

3-Associate Professor. Sari University of Agriculture Sciences and Natural Resources

Received: December 10, 2014 Accepted: Jan 8, 2017

Abstract

In order to map the forest canopy density Bivareh Ilam Landsat 8 satellite data of 22 July 2014 and FCD model was used. The FCD of four indicators of vegetation, soil, shade and the heat index by applying a suitable threshold was and the density of vegetation and forest canopy density map based on FCD in percent respectively. Forest density map obtained, according to the classes provided by the Supreme Council of Forest, Range and Soil of Forest and Rangeland and Watershed Management (7 classes) and a classification (5 classes), were defined. To determine the accuracy of the classified forest density map, a map of the ground reality of the images presented on the website of the Regional Centre spatial data infrastructure updates and spatial resolution are prepared. The highest overall accuracy and Kappa coefficient in the present study, the classification in five classes of 61/34% and 0/42, respectively, were calculated. The classification of 7 classes, the overall accuracy and kappa coefficient was estimated. Therefore we can conclude that in the Zagros forests, semi-massive to massive forest separation efficiency model is appropriate when the separation of the classes with lower density, is not accurate.

Keywords: Satellite Images of Landsat 8, FCD Model, Forest Canopy Density, Ilam, Bivareh Forests